

01:03

О толщине пограничного слоя, связанного с осциллирующей свободной поверхностью заряженной капли вязкой жидкости

© С.О. Ширяева, А.И. Григорьев, А.Р. Паранин

Ярославский государственный университет им. П.Г. Демидова,
150000 Ярославль, Россия
e-mail: shir@uniyar.ac.ru

(Поступило в Редакцию 3 ноября 2009 г. В окончательной редакции 25 февраля 2010 г.)

Проведен аналитический расчет капиллярных осцилляций заряженной капли вязкой жидкости в рамках теории пограничного слоя в линейном по амплитуде осцилляций приближении с последовательной оценкой относительной погрешности замены точного решения приближенным. Показано, что для обеспечения точности расчета в рамках теории пограничного слоя порядка единиц процентов толщина пограничного слоя в окрестности свободной поверхности капли должна в несколько раз превышать значение, при котором интенсивность вихревого движения, порождаемого осциллирующей поверхностью, убывает в e раз. С ростом вязкости жидкости толщина пограничного слоя увеличивается.

Введение

Классические представления о пограничном слое вблизи свободной поверхности вязкой жидкости, совершающей периодические движения, были сформированы в середине прошлого века Лонгет-Хиггинсом [1]. При решении задачи о расчете волнового движения на плоской свободной поверхности бесконечно глубокой маловязкой жидкости с коэффициентом кинематической вязкости ν в линейном приближении по амплитуде волны с волновым числом k и частотой ω получено, что вихревая компонента поля скоростей убывает с глубиной (при $z \leq 0$) по закону $\sim \exp(z/\text{Re}q)$ [1,2], где

$$q = \sqrt{k^2 + (-2\nu k^2 \pm i\omega)/\nu}.$$

Для маловязкой жидкости ($\nu \rightarrow 0$) несложно показать, что $\text{Re}q \approx \sqrt{\omega/2\nu}$, и закон убывания амплитуды вихревой компоненты поля скоростей с глубиной принимает вид: $\sim \exp(\sqrt{\omega/2\nu}z)$.

Величину, обратную $\text{Re}q$, определяющую глубину слоя жидкости, на котором амплитуда волны уменьшается в e раз, а именно $\sqrt{2\nu/\omega}$, предложено в [1] считать толщиной пограничного слоя, связанного с волновым движением на свободной поверхности маловязкой жидкости. Такой способ введения пограничного слоя не позволяет контролировать точность расчетов, проводимых в рамках теории пограничного слоя, поэтому в нижеследующих рассуждениях толщину пограничного слоя δ будем оценивать с точностью до постоянного численного множителя G в виде

$$\delta = G \sqrt{\nu/\omega},$$

как это было предложено в [3], с последующим выбором величины G так, чтобы удовлетворить необходимым требованиям по точности расчета. Именно такой подход был использован [4–6] при расчетах волнового движения на поверхности маловязкой жидкости в плоской и цилиндрической геометрии.

Теория пограничного слоя с определением его толщины в рамках представлений Лонгет-Хиггинса была использована для расчета осцилляций заряженной капли в [7], но основное внимание в этой работе было уделено исследованию временной эволюции пограничного слоя от начального момента времени.

Следует отметить, что теория пограничного слоя у свободной поверхности маловязкой жидкости до недавнего времени практически не развивалась. Причина такого положения дел в том, что для глубокой жидкости потери энергии волнового течения за счет вязкого затухания в тонком пограничном слое, где сосредоточено вихревое течение, пренебрежимо мальы по сравнению с затуханием во всем объеме жидкости, охваченном потенциальным течением [8]. Тем не менее в задачах исследования осцилляций капель маловязких жидкостей, когда объем всей капли сравним по величине с объемом приповерхностного слоя, в котором существует вихревое движение, учет затухания в пограничном слое может быть весьма существен для расчета временной эволюции осцилляций.

В настоящей работе предполагается на основе сравнения точного решения с решением, полученным в рамках теории пограничного слоя, найти адекватную оценку для толщины пограничного слоя в окрестности свободной поверхности осциллирующей заряженной капли вязкой жидкости.

1. Формулировка задачи о расчете осцилляций заряженной капли вязкой жидкости и ее точное решение

Пусть имеется сферическая капля радиусом R_0 вязкой несжимаемой электропроводной жидкости с массовой плотностью ρ , коэффициентом кинематической вязкости ν и коэффициентом поверхностного натяжения σ ,

несущая электрический заряд Q . Примем, что капля совершает осцилляции вследствие создания в начальный момент времени виртуальной осесимметричной деформации равновесной сферической формы капли так, что ее форма в произвольный момент времени t определяется соотношением

$$F(r, \vartheta, t) = r - R_0 - \xi(\vartheta, t) = 0; \quad |\xi| \ll 1,$$

где $\xi = \xi(\vartheta, t)$ — отклонение свободной поверхности жидкости от равновесной в поле сил тяжести формы $r = R_0$. Зададимся целью исследовать аналитическим путем в линейном по амплитуде начальной деформации приближении временнюю эволюцию формы капли. Все рассмотрение проведем в сферической системе координат с началом в центре масс невозмущенной сферической капли.

Математическая формулировка задачи расчета линейных осцилляций заряженной капли имеет вид

$$\begin{aligned} \frac{\partial \mathbf{U}}{\partial t} + \frac{1}{\rho} \nabla P - \nu \Delta \mathbf{U} &= 0; \quad \operatorname{div} \mathbf{U} = 0; \quad \Delta \Phi = 0; \\ r = R_0 : \quad U_r &\approx \frac{\partial \xi}{\partial t}; \quad \frac{\partial U_\vartheta}{\partial r} + \frac{1}{r} \frac{\partial U_r}{\partial \vartheta} - \frac{U_\vartheta}{r} &= 0; \\ -P + 2\nu \frac{\partial}{\partial r} U_r - \frac{1}{8\pi} (\nabla \Phi)^2 + \sigma \operatorname{div} \mathbf{n} &= 0; \quad \Phi = \Phi_S; \\ r \rightarrow 0 : \quad U_r &\rightarrow 0; \quad U_\vartheta \rightarrow 0; \\ r \rightarrow \infty : \quad \nabla \Phi &= 0; \\ t = 0 : \quad \xi(\vartheta) &\equiv \sum_{l \in \Xi} Z_l P_l(\eta); \quad \eta \equiv \cos \vartheta; \\ &\sum_{l \in \Xi} \frac{Z_l}{R_0} &= \varepsilon; \quad \mathbf{U} = 0. \end{aligned}$$

Здесь

$$\mathbf{U}(\mathbf{r}, t) = U_r(\mathbf{r}, t) \mathbf{e}_r(\mathbf{r}) + U_\vartheta(\mathbf{r}, t) \mathbf{e}_\vartheta(\mathbf{r})$$

— поле скоростей течения жидкости в капле, связанного с осцилляциями ее свободной поверхности; $P(\mathbf{r}, t)$ — гидродинамическое давление в капле; $\Phi(\mathbf{r}, t)$ — потенциал электрического поля собственного заряда капли; $\Phi_S(t)$ — постоянное вдоль поверхности идеально проводящей капли значение электростатического потенциала; Z_l — амплитуда начальной деформации l -й моды; ε — безразмерный малый параметр, определяющий суммарную амплитуду деформации капли; $P_l(\eta)$ — полином Лежандра порядка l ; Ξ — множество номеров мод, суперпозиция которых определяет начальную деформацию капли. Поле скоростей течения жидкости на основе теоремы Гельмгольца удобно представить в виде суперпозиции потенциальной $U_r^{(p)}$, $U_\vartheta^{(p)}$ и вихревой $U_r^{(e)}$, $U_\vartheta^{(e)}$ компонент

$$\begin{pmatrix} U_r(\mathbf{r}, t) \\ U_\vartheta(\mathbf{r}, t) \end{pmatrix} \equiv \begin{pmatrix} U_r^{(p)}(\mathbf{r}, t) \\ U_\vartheta^{(p)}(\mathbf{r}, t) \end{pmatrix} + \begin{pmatrix} U_r^{(e)}(\mathbf{r}, t) \\ U_\vartheta^{(e)}(\mathbf{r}, t) \end{pmatrix}. \quad (1)$$

Сформулированная задача дополняется естественными условиями сохранения объема и электрического заряда капли, а также неподвижности при осцилляциях ее центра масс.

Решение сформулированной векторной задачи будем искать в безразмерных переменных, в которых $\rho = R_0 = \sigma = 1$, методом скаляризации, детально описанным в [9–11]. В основе метода лежит упомянутая выше теорема Гельмгольца о разделении произвольного векторного поля на суперпозицию потенциального и вихревого. В анализируемой ситуации осесимметричных осцилляций сферической капли будем иметь [9–11]:

$$\mathbf{U}(\mathbf{r}, t) = \nabla \varphi(\mathbf{r}, t) + \nabla \times (\nabla \times \mathbf{r}) \psi(\mathbf{r}, t),$$

где $\varphi(\mathbf{r}, t)$ — гидродинамический потенциал; $\psi(\mathbf{r}, t)$ — скалярная функция, через которую выражается вихревая часть течения. Компоненты поля скоростей течения жидкости в капле выражаются через скалярные функции $\varphi(\mathbf{r}, t)$ и $\psi(\mathbf{r}, t)$ с помощью соотношений

$$\begin{aligned} U_r^{(p)} &= \frac{\partial \varphi}{\partial r}; \quad U_\vartheta^{(p)} = \frac{1}{r} \frac{\partial \varphi}{\partial \vartheta}; \\ U_r^{(e)} &= -\frac{1}{r \sin \vartheta} \frac{\partial}{\partial \vartheta} \left(\frac{\partial \psi}{\partial \vartheta} \sin \vartheta \right); \\ U_\vartheta^{(e)} &= \frac{1}{r} \frac{\partial}{\partial r} \left(r \frac{\partial \psi}{\partial \vartheta} \right). \end{aligned} \quad (2)$$

Решение изначально сформулированной векторной краевой задачи сводится к решению двух скалярных задач для отыскания функций $\varphi(\mathbf{r}, t)$ и $\psi(\mathbf{r}, t)$. В математическую формулировку задачи вместо уравнений Навье–Стокса и неразрывности войдут уравнения для отыскания функций $\varphi(\mathbf{r}, t)$, $\psi(\mathbf{r}, t)$ и гидродинамического давления [9–11]:

$$\begin{aligned} \Delta \varphi &= 0; \quad \Delta \psi(\mathbf{r}, t) - \frac{1}{\nu} \frac{\partial \psi(\mathbf{r}, t)}{\partial t} &= 0; \\ P(\mathbf{U}, t) &= -\frac{\partial \varphi(\mathbf{r}, t)}{\partial t}. \end{aligned} \quad (3)$$

Границные условия не изменятся, хотя их можно переписать в терминах новых искомых функций.

Не останавливаясь на процедуре отыскания функций $\varphi(\mathbf{r}, t)$ и $\psi(\mathbf{r}, t)$, подробно описанной в [9–11], приведем сразу окончательные выражения:

$$\begin{aligned} \xi(\vartheta, t) &= \sum_{l \in \Xi} Z_l P_l(\eta) \exp(st); \\ \varphi(\mathbf{r}, t) &= \sum_{l \in \Xi} Z_l \frac{\nu x^2}{l} \left(1 + \frac{2(l^2 - 1)}{x^2 - 2x \frac{i_{l+1}(x)}{i_l(x)}} \right) r^l P_l(\eta) \exp(st); \\ \psi(\mathbf{r}, t) &= -\sum_{l \in \Xi} Z_l \frac{\nu x^2}{l} \frac{2(l-1)}{(x^2 - 2x \frac{i_{l+1}(x)}{i_l(x)})} \frac{i_l(xr)}{i_l(x)} P_l(\eta) \exp(st). \end{aligned} \quad (4)$$

Здесь $i_l(x)$ — модифицированные сферические функции Бесселя первого рода [12]; $s \equiv \nu x^2$ — комплексная

частота, являющаяся решением дисперсионного уравнения:

$$x^4 + x^2 2(l-1)(2l+1) + l(l-1)(l+2) \frac{\chi_l}{\nu^2}$$

$$+ 2(l+1)(l-1)^2 \frac{x^2}{1 - \frac{x i_l(x)}{2 i_{l+1}(x)}} = 0;$$

$$x \equiv \sqrt{\frac{s}{\nu}}; \quad \chi_l \equiv 1 - \frac{Q^2}{4\pi(l+2)} \equiv 1 - W_l.$$

Безразмерный параметр W_l характеризует устойчивость l -й моды осцилляций капли: l -я мода теряет устойчивость при $W_l \geq 1$ (это соотношение принято называть критерием Рэлея, а сам параметр W_l — параметром Рэлея) [13]. Следует иметь в виду, что как только станет неустойчивой основная мода ($l = 2$), капля начинает вытягиваться в сфероид, при этом потеряют устойчивость моды, связанные со 2-й модой взаимодействием, а критические условия неустойчивости всех остальных мод будут снижаться с ростом сфероидальной деформации [14,15].

По найденным функциям $\varphi(\mathbf{r}, t)$ и $\psi(\mathbf{r}, t)$, определенным соотношениями (4), поле скоростей течения жидкости в капле легко находится простым дифференцированием и сложением, согласно (1), (2).

Из рис. 1, на котором приведена зависимость амплитуды ротора поля скоростей от радиальной переменной, видно, что вихревое течение, порождаемое осцилляциями свободной поверхности, достаточно быстро затухает по мере удаления от поверхности. Этот факт дает основание говорить о разделении

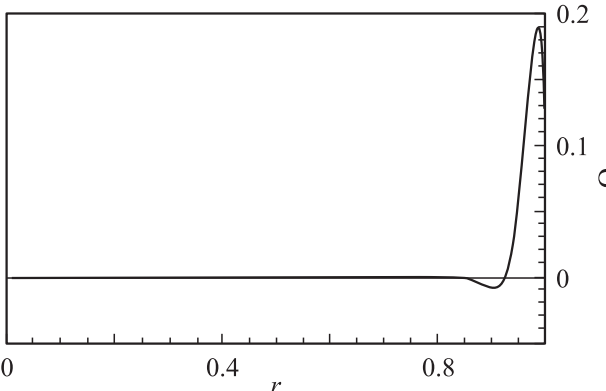


Рис. 1. Зависимость амплитуды ротора поля скоростей Ω точного решения от безразмерной радиальной переменной, построенная при $l = 1$, $Z_2 = 0.1$, $W = 0$, $\nu = 0.01$, $\vartheta = 3\pi/4$.

всего поля скоростей на две компоненты: потенциальную, охватывающую весь объем, и приповерхностную вихревую, быстро затухающую с глубиной.

Теория пограничного слоя разработана для маловязких жидкостей, следовательно, в контексте проводимого анализа функции $\varphi(\mathbf{r}, t)$ и $\psi(\mathbf{r}, t)$, а также дисперсионное уравнение задачи нам нужны для нижеследующих построений в пределе малой вязкости $\nu \rightarrow 0$, в котором они принимают более простой вид (см. [10], стр. 38–39, где соответствующий асимптотический переход при $x \rightarrow \infty$) для отношения $x i_l(x)/2 i_{l+1}(x)$ описан детально; см. также [12], стр. 199, формула 9.7.1 и стр. 261, формула 10.2.2):

$$\varphi(\mathbf{r}, t) = \sum_{l \in \Xi} Z_l \frac{\nu}{l} (1 + 2(l^2 - 1)) r^l P_l(\eta) \exp(st);$$

$$\psi(\mathbf{r}, t) = - \sum_{l \in \Xi} Z_l \nu \frac{2(l-1)}{l} \frac{i_l(xr)}{i_l(x)} P_l(\eta) \exp(st); \quad (4a)$$

$$\nu^2 x^4 + 2(l-1)(2l+1)\nu^2 x^2 + l(l-1)(l+2)\chi_l = 0. \quad (5)$$

2. Формулировка и решение модельной задачи

На основании представлений о строении реального течения маловязкой жидкости в приповерхностном (пограничном) ее слое [3–7] (см. рис. 1) сформулируем модельную задачу, которой будем аппроксимировать приведенное выше точное решение (4a). Для этого будем исходить из предположения, что потенциальное течение охватывает весь объем капли и обращается в нуль в центре капли, а вихревая часть течения сосредоточена только в пограничном приповерхностном слое толщиной δ , и ротор скорости течения Ω обращается в нуль на нижней границе этого слоя

$$r \rightarrow 0 : \quad U_r^{(p)} \rightarrow 0, \quad U_\vartheta^{(p)} \rightarrow 0;$$

$$r = 1 - \delta : \quad \Omega = 0.$$

Остальные граничные условия оставим прежними, как и решаемые уравнения (3), для отыскания функций $\varphi(\mathbf{r}, t)$, $\psi(\mathbf{r}, t)$ и $P(\mathbf{r}, t)$.

Уравнения для потенциальной составляющей течения будем решать во всей области $0 \leq r \leq 1$, а для вихревой составляющей только в узком приповерхностном слое: $(1 - \delta) \leq r \leq 1$. Толщину пограничного слоя будем считать определенной с точностью до постоянного множителя G и считать малой по сравнению с радиусом капли ($\delta \ll 1$).

Решение модельной задачи имеет вид

$$\varphi = \sum_{l \in \Xi} Z_l \frac{\nu}{l} (1 + 2(l^2 - 1)) r^l P_l(\eta) \exp(st);$$

$$\psi = - \sum_{l \in \Xi} Z_l \nu \frac{2(l-1)}{l} \frac{i_l(xr)k_l(x\mu) - k_l(xr)i_k(x\mu)}{i_l(x)k_l(x\mu) - k_l(x)i_l(x\mu)}$$

$$\times P_l(\eta) \exp(st); \quad \mu \equiv 1 - \delta; \quad (6)$$

где значения частоты мод s (выраженные через x) удовлетворяют дисперсионному уравнению

$$\begin{aligned} & \frac{k_l(x\mu)}{k_l(x)} \left(x^4 + 2(l-1)(2l+1)x^2 + \frac{x^2 2(l-1)^2(l+1)}{\left(1 - \frac{x}{2} \frac{i_l(x)}{i_{l+1}(x)}\right)} \right. \\ & \left. + l(l-1)(l+2) \frac{\chi_l}{v^2} \right) - \frac{i_l(x\mu)}{i_l(x)} \left(x^4 + 2(l-1)(2l+1)x^2 \right. \\ & \left. + \frac{x^2 2(l-1)^2(l+1)}{\left(1 + \frac{x}{2} \frac{k_l(x)}{k_{l+1}(x)}\right)} + l(l-1)(l+2) \frac{\chi_l}{v^2} \right) = 0. \end{aligned} \quad (7)$$

Здесь $k_l(x)$ — модифицированные сферические функции Бесселя второго рода [12]. Совершая переход $\delta \rightarrow 1$, несложно убедиться, что решение модельной задачи (6) и ее дисперсионное уравнение (7) в пределе малой вязкости совпадают с решением точной задачи (4а) и ее дисперсионным уравнением (5).

3. Упрощение модельной задачи в рамках теории пограничного слоя и ее решение

Математическая формулировка модельной задачи в пределе малой вязкости может быть упрощена с помощью построений, аналогичных тем, что используются в классической теории пограничного слоя.

Будем исходить из того, что течение жидкости в капле состоит из главной, потенциальной, и добавочной, в пограничном слое, вихревой частей. Вихревая часть течения является малой, исчезающей в пределе $v \rightarrow 0$, добавкой к основной потенциальной части течения. Для потенциальной части движения характерный линейный масштаб, на котором изменяются компоненты скорости, одинаков во всех направлениях $\sim R_0$. Для вихревой части течения характерный линейный масштаб, на котором изменяются компоненты скорости в направлении, перпендикулярном пограничному слою, равен толщине слоя δ , а вдоль слоя — определяется характерным линейным размером $\sim R_0$. На основании сказанного введем правила оценки производных от искомых величин по пространственным координатам. Для оценки величин производных от φ , $U_\vartheta^{(p)}$, $U_r^{(p)}$ по пространственным переменным будем пользоваться следующим формальным правилом сравнения (в размерном виде):

$$\frac{\partial}{\partial r} \rightarrow \frac{1}{R_0}; \quad \frac{1}{r} \frac{\partial}{\partial \vartheta} \rightarrow \frac{1}{R_0 \pi}.$$

Для величин в пограничном слое Ω , ψ , $U_\vartheta^{(e)}$, $U_r^{(e)}$ правило оценки производных будет несколько иным (в размерном виде):

$$\frac{\partial}{\partial r} \rightarrow \frac{1}{\delta}; \quad \frac{1}{r} \frac{\partial}{\partial \vartheta} \rightarrow \frac{1}{R_0 \pi}.$$

Далее, пользуясь малостью толщины пограничного слоя $\delta \ll R_0$, будем упрощать формулировку модельной задачи, пренебрегая в суммах вида $\Xi = A + B$ слагаемым B , если

$$\frac{B}{A} \approx O\left(\frac{\delta^2}{R_0^2}\right).$$

После упрощения граничных условий на основе сделанных выше предположений гидродинамическая часть модельной задачи (электростатическая часть останется без изменений) принимает вид

$$\begin{aligned} 0 \leq r \leq 1 : \quad & \Delta \varphi = 0; \\ 1 - \delta \leq r \leq 1 : \quad & \partial_t \psi - v \Delta \psi = 0; \\ r = 1 - \delta : \quad & \Omega \approx \frac{\partial}{\partial \vartheta} \psi = 0; \\ r = 1 : \quad & \frac{\partial \xi}{\partial t} - \left(U_r^{(p)} + U_r^{(e)} \right) = 0; \\ & 2 \frac{\partial}{\partial r} U_\vartheta^{(p)} + r \frac{\partial}{\partial \vartheta} \left(\frac{1}{r} U_\vartheta^{(e)} \right) = 0; \\ & -P + 2v \frac{\partial}{\partial r} \left(U_r^{(p)} \right) - \frac{1}{8\pi} (\nabla \Phi)^2 + \operatorname{div} \mathbf{n} = 0; \\ r = 0 : \quad & U_r^{(p)} \rightarrow 0; \quad U_\vartheta^{(p)} \rightarrow 0. \end{aligned}$$

Решение упрощенной модельной задачи имеет вид

$$\begin{aligned} \varphi &= \sum_{l \in \Xi} Z_l \frac{\nu}{l} (1 + 2(l^2 - 1)) r^l P_l(\eta) \exp(st); \\ \psi &\approx - \sum_{l \in \Xi} Z_l \nu \frac{2(l-1)}{l} \frac{k_l(xr)i_l(x\mu) - i_l(xr)k_l(x\mu)}{k_l(x)i_l(x\mu) - i_l(x)k_l(x\mu)} \\ &\times P_l(\eta) \exp(st); \end{aligned} \quad (8)$$

$$\begin{aligned} & \frac{k_l(x\mu)}{k_l(x)} \left[x^4 + x^2 2l(l-1) - 2 \left(x \frac{i_{l+1}(x)}{i_l(x)} - \frac{x^2}{2} \right) \right. \\ & \times \left(f_l \frac{\chi}{v^2} + \frac{x^2(x^2 + 2l(l-1))}{(l-2)(l+1)} \right) - h_l \frac{\chi_l}{v^2} \Big] \\ & - \frac{i_l(x\mu)}{i_l(x)} \left[x^4 + x^2 2l(l-1) - 2 \left(x \frac{k_{l+1}(x)}{k_l(x)} + \frac{x^2}{2} \right) \right. \\ & \left. \left(f_l \frac{\chi}{v^2} + \frac{x^2(x^2 + 2l(l-1))}{(l-2)(l+1)} \right) - h_l \frac{\chi_l}{v^2} \right] = 0; \\ f_l &\equiv \frac{l(l-1)(l+2)}{(l-2)(l+1)}; \quad h_l \equiv \frac{l^2(l-1)(l+2)}{(l-2)}. \end{aligned} \quad (9)$$

В пределах малой вязкости решение (8) и дисперсионное уравнение (9) совпадают с решением точной задачи (4а) и ее дисперсионным уравнением (5), полученными в пределе малой вязкости.

4. Анализ полученных решений

Выпишем поля скоростей течения жидкости в капле в пределе малой вязкости для точной и модельной упрощенной задач исходя из выражения

$$\begin{aligned} \mathbf{U}(\mathbf{r}, t) &= U_r \mathbf{e}_r(\mathbf{r}) + U_\vartheta \mathbf{e}_\vartheta(\mathbf{r}) \\ &\equiv (U_r^{(p)} + U_r^{(e)}) \mathbf{e}_r + (U_\vartheta^{(p)} + U_\vartheta^{(e)}) \mathbf{e}_\vartheta. \end{aligned}$$

Для точной задачи, используя (1) и (4), несложно записать:

$$\begin{aligned} \begin{pmatrix} U_r^{(p)}(\mathbf{r}, t) \\ U_\vartheta^{(p)}(\mathbf{r}, t) \end{pmatrix} &= \sum_{l \in \Xi} Z_l \nu (1 + 2(l^2 - 1)) r^{l-1} \\ &\quad \times \left(\frac{1}{l} \frac{\partial}{\partial \vartheta} \right) P_l(\eta) \exp(st); \\ \begin{pmatrix} U_r^{(e)}(\mathbf{r}, t) \\ U_\vartheta^{(e)}(\mathbf{r}, t) \end{pmatrix} &= - \sum_{l \in \Xi} 2Z_l (l-1) \frac{\nu}{lr} \\ &\quad \times \left(\left(\frac{i_l(xr)}{i_l(x)} + r \left(x \frac{i_{l+1}(xr)}{i_l(x)} + l \frac{i_l(xr)}{i_l(x)} \right) \right) \frac{\partial}{\partial \vartheta} \right) P_l(\eta) \exp(st). \end{aligned} \quad (10)$$

Для модельной упрощенной задачи по (1), (2) и (8) получим:

$$\begin{aligned} \begin{pmatrix} U_r^{(p)}(\mathbf{r}, t) \\ U_\vartheta^{(p)}(\mathbf{r}, t) \end{pmatrix} &= \sum_{l \in \Xi} Z_l \nu (1 + 2(l^2 - 1)) \\ &\quad \times r^{l-1} \left(\frac{1}{l} \frac{\partial}{\partial \vartheta} \right) P_l(\eta) \exp(st); \\ \begin{pmatrix} U_r^{(e)}(\mathbf{r}, t) \\ U_\vartheta^{(e)}(\mathbf{r}, t) \end{pmatrix} &= - \sum_{l=0}^{\infty} Z_l L_l(x, \delta) \\ &\quad \times \left(\frac{l(l+1)A_1}{[(1+l)r]A_1 - rx B_1} \right) \frac{\partial}{\partial \vartheta} P_l(\eta) \exp(st), \end{aligned} \quad (11)$$

$$A_1 = k_l(xr)i_l(x\mu) - i_l(xr)k_l(x\mu),$$

$$B_1 = k_{l+1}(xr)i_l(x\mu) - i_{l+1}(xr)k_l(x\mu),$$

$$L_l(x, \delta) \equiv \frac{1}{lr} \frac{2(l-1)\nu}{k_l(x)i_l(x\mu) - i_l(x)(k_l(x\mu))}.$$

Частоту осцилляций s , в соотношениях (10), (11), выраженную через переменную x , будем определять из дисперсионного уравнения:

$$s^2 + 2(l-1)(2l+1)s\nu + l(l-1)(l+2)(1-W_l) = 0, \quad (12)$$

к которому в пределе малой вязкости ($\nu \rightarrow 0$) приводятся дисперсионные уравнения (5) для точной задачи и (9) для упрощенной модельной. Решения (12) в линейном

по малой вязкости приближении легко записываются в виде:

$$s_{1,2} = -(l-1)(2l+1)\nu \pm i\sqrt{l(l-1)(l+2)(1-W_l)}.$$

На рис. 2 приведены зависимости радиальной U_r и угловой U_ϑ составляющих поля скоростей от расстояния до поверхности в пределах пограничного слоя, построенные для ситуации, когда начальная деформация капли определяется одной основной модой. Для удобства сделан переход от переменной r ($1-\delta \leq r \leq 1$) к переменной z , которая в пределах пограничного слоя изменяется в диапазоне от -1 до 0 :

$$z = \frac{r-1}{\delta} \Rightarrow r = 1 + \delta z.$$

Задаваясь целью отыскать величину множителя G , при которой решения упрощенной модельной задачи наилучшим образом аппроксимируют точное решение для поля скоростей течения жидкости в капле, несложно видеть, что расчеты, проведенные для $G = 5$, дают по сравнению с расчетами, проведенными для меньших значений G , существенно меньшую относительную погрешность, исчисляемую единицами процентов.

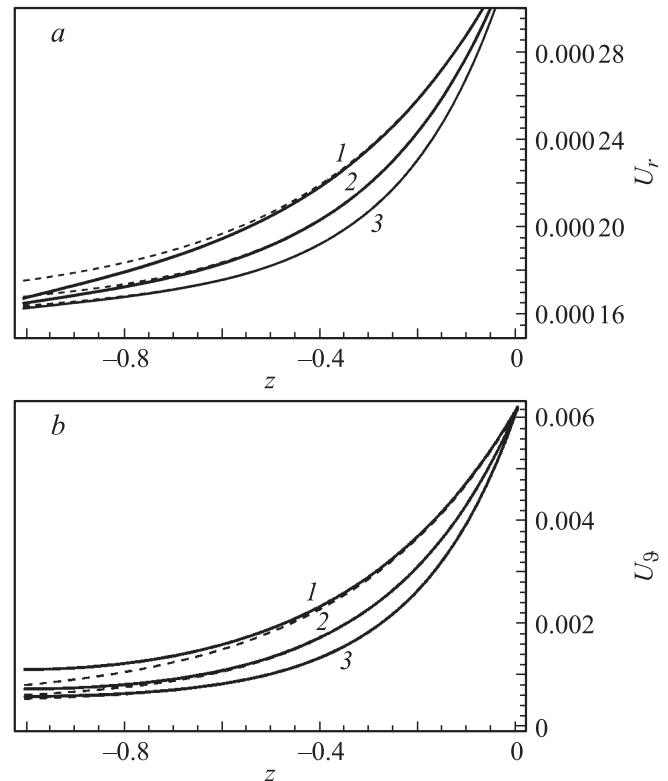


Рис. 2. Зависимости: *a* — радиальной компоненты поля скоростей U_r , *b* — угловой компоненты U_ϑ от расстояния до поверхности в пределах пограничного слоя, построенные при $l = 2$, $W = 0$, $Z_2 = 0.1$, $\nu = 0.001$, $\vartheta = 3\pi/4$. Кривые 1 — аппроксимация скоростей при $G = 3$, 2 — 4, 3 — 5. При этом пунктир соответствует точному решению, а сплошные кривые — решению в теории пограничного слоя.

Для получения количественной оценки расхождения точного и приближенного решений определим относительные ошибки для обеих проекций поля скоростей на орты сферической системы координат соотношениями

$$\varepsilon_r = \left| \frac{U_{r0} - U_{r*}}{U_{r0}} \right|; \quad \varepsilon_\vartheta = \left| \frac{U_{\vartheta0} - U_{\vartheta*}}{U_{\vartheta0}} \right|.$$

Здесь индекс „*“ соответствует решению, построенному в рамках теории пограничного слоя, а индекс „,0“ — точному решению.

На рис. 3 приведены зависимости ε_r и ε_ϑ от введенной переменной z в пределах пограничного слоя для незаряженной капли. Несложно видеть, что при $G = 5$ погрешность расчета угловой составляющей поля скоростей ε_ϑ превышает погрешность расчета радиальной составляющей ε_r примерно в 2 раза. С увеличением заряда капли (параметра Рэлея W) толщина пограничного слоя медленно растет, но при приближении к критическому для реализации неустойчивости основной моды значению скорость роста толщины пограничного слоя увеличивается и вихревое движение охватывает весь объем капли, а толщина пограничного слоя стремится к радиусу капли, как это видно из рис. 4. Интересно отметить, что так же ведет себя и толщина пограничного слоя у плоской однородно заряженной поверхности

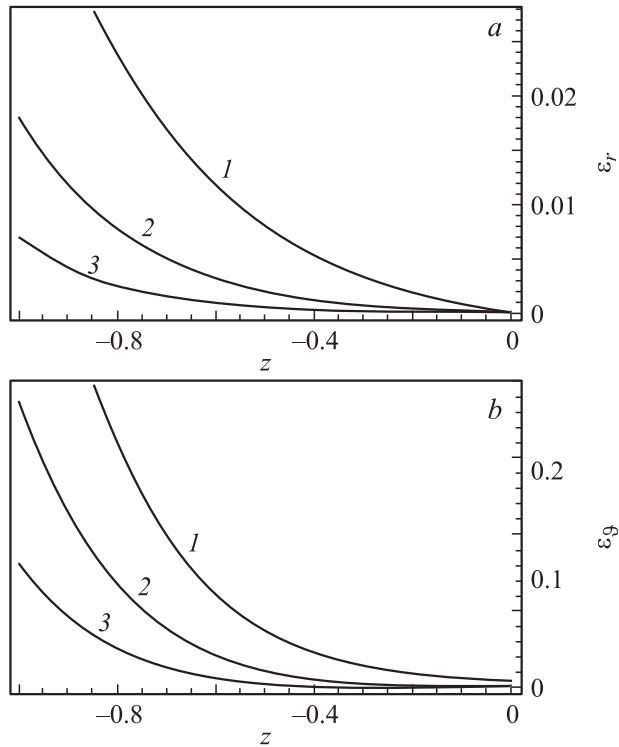


Рис. 3. Зависимости: *a* — относительной погрешности ε_r , *b* — ε_ϑ аппроксимации точного решения его приближением в рамках пограничного слоя для радиальной компоненты поля скоростей U_r от расстояния до поверхности в пределах пограничного слоя, построенные при $l = 2$, $W = 0$, $Z_2 = 0.1$, $\nu = 0.001$, $\vartheta = 3\pi/4$, для различных значений параметра G : 1 — 3; 2 — 4; 3 — 5.

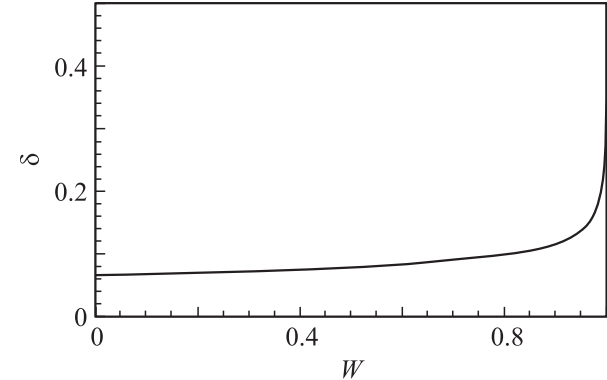


Рис. 4. Зависимость безразмерной толщины пограничного слоя δ от параметра Рэлея W , построенная при $l = 2$, $\nu = 0.001$, $G = 5$.

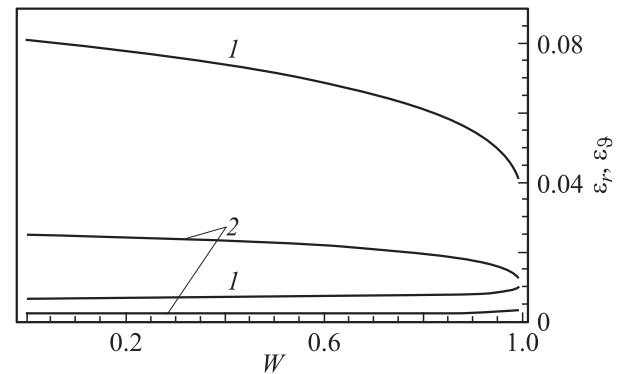


Рис. 5. Зависимости относительных погрешностей ε_r , ε_ϑ от величины параметра Рэлея. Жирные кривые — зависимости для ε_r , тонкие — для ε_ϑ , построенные при $l = 2$, $\nu = 0.001$, $G = 5$, $\vartheta = 3\pi/4$: 1 — $z = -1$, 2 — $z = -0.8$.

электропроводной жидкости конечной толщины [5,16]. С физической и математической точки зрения такая тенденция вполне объяснима. В самом деле, при приближении параметра Рэлея для капли или параметра Тонкса–Френкеля для плоской поверхности к критическому для реализации электростатической неустойчивости свободной поверхности значению частота капиллярных волн (капиллярных осцилляций) стремится к нулю, а толщина пограничного слоя, обратно пропорциональная корню квадратному из частоты

$$\delta \approx \sqrt{\frac{\nu}{\omega}},$$

увеличивается.

На рис. 5 приведены зависимости ε_r и ε_ϑ от величины параметра Рэлея W , рассчитанные для различных расстояний от поверхности капли. Несложно видеть, что погрешности ε_ϑ с ростом W уменьшаются, а ε_r весьма медленно увеличиваются. Поскольку кривые с индексом „1“ относятся к нижней границе пограничного слоя, а кривые с индексом „2“ — к уровню $z = 0.8$, то наглядно видно, что с ростом расстояния от поверхности

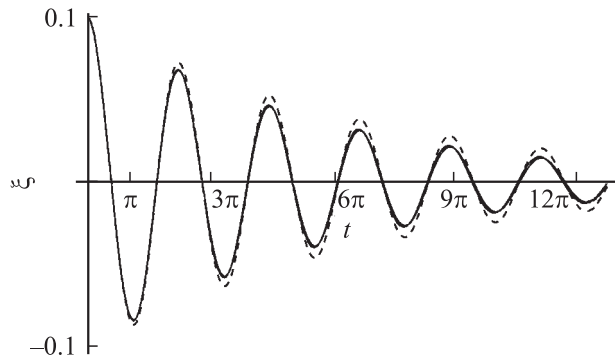


Рис. 6. Временные зависимости амплитуды отклонения свободной поверхности, построенные по точному решению (сплошная кривая) и по упрощенному модельному при $l = 2$, $Z_2 = 0.1$, $W = 0$, $\nu = 0.001$ и значениях $G = 1$ (штриховая кривая) и 5 (кривая сливается с результатом расчета по точному решению).

капли увеличиваются и абсолютные значения погрешностей ε_r и ε_θ , и расхождения между ними.

На рис. 6 приведены временные зависимости амплитуды осцилляций свободной поверхности капли для точного решения и приближенных, построенных при $G = 1$ и 5. Результат приближенного расчета с $G = 5$ практически совпадает с результатом расчета по точному решению (имеющееся различие не превышает толщины линий).

Заключение

В аналитических расчетах капиллярных осцилляций заряженной капли маловязкой жидкости, проведенных в рамках теории пограничного слоя в первом порядке малости по амплитудам осцилляций, проанализированы зависимости толщины пограничного слоя от физических параметров задачи. Выяснилось, что для выполнения расчетов с погрешностью по отношению к точному решению, не превышающей единиц процентов, толщина пограничного слоя должна примерно в четыре раза превышать толщину, на которой интенсивность вихревого движения, порожденного свободной поверхностью капли, уменьшается в 2.714 раз (в e раз). С увеличением вязкости жидкости толщина пограничного слоя растет.

Работа выполнена при поддержке грантов: Рособразования № 2.1.1/3776 и РФФИ № 09-01-00084.

Список литературы

- [1] Longuet-Higgins M.S. // Royal. Soc. London. Trans. Ser. A. 1953. Vol. 245. N 903. P. 535–581.
- [2] Левич В.Г. Физико-химическая гидродинамика. М.: Физматгиз, 1959. 699 с.
- [3] Белоножко Д.Ф., Григорьев А.И. // ЖТФ. 2007. Т. 77. Вып. 8. С. 19–28.
- [4] Ширяева С.О. // ЖТФ. 2008. Т. 78. Вып. 12. С. 12–20.
- [5] Григорьев А.И., Пожарецкий Д.М., Ширяева С.О. // ЖТФ. 2009. Т. 79. Вып. 5. С. 8–17.
- [6] Григорьев А.И., Пожарецкий Д.М., Ширяева С.О. // Изв. РАН. МЖГ. 2009. № 5. С. 15–26.
- [7] Жаров А.Н., Ширяева С.О., Жарова И.Г. // ЖТФ. 2008. Т. 78. Вып. 8. С. 54–63.
- [8] Бэтчелор Дж.К. Введение в динамику жидкости. М.–Ижевск: Изд-во НИЦ РХД, 2004. 768 с.
- [9] Григорьев А.И., Лазарянц А.Э. // ЖТФ. 1993. Т. 63. Вып. 10. С. 12–19.
- [10] Ширяева С.О., Лазарянц А.Э., Григорьев А.И. и др. Метод скаляризации векторных краевых задач. Препринт ИМ РАН № 27. Ярославль, 1994. 126 с.
- [11] Ширяева С.О., Григорьев А.И. Заряженная капля в грозовом облаке. Ярославль: Изд-во ЯрГУ им. П.Г. Демидова. 2008. 535 с.
- [12] Справочник по специальным функциям / Под ред. М. Абрамович, И. Стиган. М.: Наука, 1979. 832 с.
- [13] Rayleigh (Strutt J.W.) // Phil. Mag. 1882. Vol. 14. P. 184–186.
- [14] Григорьев А.И. // ЖТФ. 1985. Вып. 7. С. 1272–1278.
- [15] Ширяева С.О., Корниенко Д.О., Волкова М.В. // ЭОМ. 2009. № 4. С. 20–29.
- [16] Белоножко Д.Ф., Григорьев А.И. // ЖТФ. 2008. Т. 78. Вып. 3. С. 21–28.